

สมรรถนะในระยะยาวของเครื่องแปลงกระแสไฟฟ้าแบบเชื่อมต่อเข้าระบบจำหน่ายภายใต้สภาวะการใช้งานจริง

Long term performance of a grid connected inverter under operation conditions

ฉัตรชัย ศิริสมพันธุ์วงศ์^{1*}, รัฐพร เงินมีศรี¹, อำนาจ จิมทวี¹, คงฤทธิ์ แม้นศรี¹

Chatchai Sirisamphanwong^{1*}, Rattaporn Ngoenmeesri¹, Amnaj Chimtavee¹, Kongrit Mansiri¹

Received: 8 May 2017 ; Accepted: 10 November 2017

บทคัดย่อ

งานวิจัยนี้เป็นการศึกษาการลดลงของประสิทธิภาพในระยะยาวของเครื่องแปลงกระแสไฟฟ้าแบบเชื่อมต่อเข้าระบบจำหน่ายที่มีใช้งานมา 9 และ 10 ปี เปรียบเทียบกับเครื่องแปลงกระแสไฟฟ้าใหม่ที่ยังไม่ใช้งาน โดยทำการทดสอบตามมาตรฐาน IEC 61683:1999 ผลจากการทดสอบพบว่าประสิทธิภาพเครื่องแปลงกระแสไฟฟ้าที่ผ่านการใช้งานจะมีประสิทธิภาพลดลงอย่างมีนัยสำคัญ โดยเครื่องแปลงกระแสไฟฟ้าที่มีการใช้งานนานกว่า 9 และ 10 ปี ที่นำมาทดสอบมีประสิทธิภาพต่ำกว่าเครื่องแปลงกระแสไฟฟ้าใหม่ที่ยังไม่ผ่านการใช้งาน โดยมีประสิทธิภาพสูงสุดเท่ากับ 88.71 และ 87.95% ที่กำลังไฟฟ้าขากอกเท่ากับ 35 และ 30% ในขณะที่เครื่องแปลงกระแสไฟฟ้าใหม่มีประสิทธิภาพสูงสุดเท่ากับ 91.99% ที่กำลังไฟฟ้าขากอกเท่ากับ 62.82% ซึ่งความแตกต่างของประสิทธิภาพเครื่องแปลงกระแสไฟฟ้ามีค่าเปลี่ยนแปลงอยู่ระหว่าง 2.65 ถึง 12.60% สำหรับเครื่องแปลงกระแสไฟฟ้าที่ติดตั้งและใช้งานมา 10 ปี และสำหรับเครื่องแปลงกระแสไฟฟ้าที่ติดตั้งและใช้งานมา 9 ปี มีค่าเปลี่ยนแปลงอยู่ระหว่าง 1.53 ถึง 11.11% เมื่อวิเคราะห์การลดลงของประสิทธิภาพเครื่องแปลงกระแสไฟฟ้าตามมาตรฐาน Euro มีค่าเท่ากับ 90.47, 87.16 และ 86.47% สำหรับเครื่องแปลงกระแสไฟฟ้าใหม่และที่ผ่านการใช้งานมาแล้วไม่น้อยกว่า 9 และ 10 ปี ตามลำดับ และประสิทธิภาพตามมาตรฐาน CEC สำหรับเครื่องแปลงกระแสไฟฟ้าใหม่มีค่าเท่ากับ 91.14% และเครื่องแปลงกระแสไฟฟ้าที่ผ่านการใช้งานมาแล้วไม่น้อยกว่า 9 และ 10 ปี เท่ากับ 87.41 และ 86.83% ตามลำดับ ซึ่งการลดลงของประสิทธิภาพเครื่องแปลงกระแสไฟฟ้าต่อปีตามมาตรฐาน Euro และมาตรฐาน CEC เท่ากับ 0.384 และ 0.422% ต่อปี

คำสำคัญ: เครื่องแปลงกระแสไฟฟ้าแบบเชื่อมต่อเข้าระบบจำหน่าย สมรรถนะระยะยาว การลดลงของประสิทธิภาพ

Abstract

This research reports the long term efficiency degradation of grid connected inverters which were installed for 9 and 10 years. The test procedure followed IEC 61683:1999. From the experimental results, it was shown that the efficiency of 9 and 10 years' installation were 87.95 and 88.71%, respectively at the rated/partial output power (P_o/P_{op}) equals 35% and 30%. While the efficiency of a new grid connected inverter was 91.99% at the rated/partial output power (P_o/P_{op}) equals 62.82%. The different efficiencies for 9 and 10 years operation and initial installation varied between 1.53 and 11.11% and 2.65 to 12.60% respectively, which indicated that the inverter efficiency degraded for the test inverters. The Euro efficiencies of the new inverter, and after 9 and 10 years' operation were 90.47, 87.16 and 86.47%, respectively and CEC efficiencies were 91.14, 87.41 and 86.83%, respectively. The estimated efficiency degradation rates are approximately 0.364 and 0.392 %/year respectively.

Keywords: Grid connected inverter Long term performance Efficiency degradation

¹ วิทยาลัยพลังงานทดแทน มหาวิทยาลัยนเรศวร พิษณุโลก 65000

¹ School of Renewable Energy Technology (SERT), Naresuan University, Phitsanulok 65000, Thailand

* Corresponding author. E-mail address chatchaisi@nu.ac.th

บทนำ

ประเทศไทยมีศักยภาพพลังงานแสงอาทิตย์เฉลี่ย 5.05 kWh/m^2 ต่อวัน¹ และในบางพื้นที่ของประเทศไทยมีศักยภาพพลังงานแสงอาทิตย์เฉลี่ยมากกว่า 5.55 kWh/m^2 ซึ่งเมื่อเปรียบเทียบกับประเทศไทยอื่นๆ ถือว่ามีศักยภาพค่อนข้างสูง ดังนั้นจึงได้มีการส่งเสริมจากทางภาครัฐให้มีการผลิตไฟฟ้าจากพลังงานแสงอาทิตย์ในเชิงพาณิชย์ตั้งแต่ปี 2550 ทำให้มีผู้สนใจลงทุนในการผลิตไฟฟ้าจากพลังงานแสงอาทิตย์เป็นจำนวนมาก จากข้อมูลของกรมพัฒนาพลังงานทดแทนและอนุรักษ์พลังงานระบุว่า ใน สิ้นปี พ.ศ. 2556 ประเทศไทยมีปริมาณติดตั้งโรงไฟฟ้า พลังงานแสงอาทิตย์และระบบผลิตไฟฟ้าจากเซลล์แสงอาทิตย์แบบติดตั้งบนหลังคาอยู่ราว 787 MW^2 ซึ่งในเชิงพาณิชย์นั้น จะทำการผลิตในรูปแบบของระบบผลิตไฟฟ้าจากเซลล์แสงอาทิตย์แบบต่อเข้าระบบจำหน่าย (Grid connected PV system) ซึ่งมีส่วนประกอบหลักๆ ที่มีผลต่อประสิทธิภาพของระบบโดยตรงอยู่ 2 ส่วนคือ แผงเซลล์แสงอาทิตย์ (PV module) และ เครื่องแปลงกระแสไฟฟ้าแบบต่อเข้าระบบจำหน่าย (Grid tie inverter) โดยปกติระบบผลิตไฟฟ้าจากเซลล์แสงอาทิตย์แบบต่อเข้าระบบจำหน่ายจะมีอายุการทำงานไม่ต่ำกว่า 25 ปี แต่ในช่วงเวลาหนึ่นประสิทธิภาพของ แผงเซลล์แสงอาทิตย์ และเครื่องแปลงกระแสไฟฟ้าแบบต่อเข้าระบบจำหน่ายจะค่อยๆ ลดลงทุกปีตามความเสื่อมสภาพของอุปกรณ์ภายในแผงเซลล์แสงอาทิตย์และเครื่องแปลงกระแสไฟฟ้า การศึกษาการลดลงของประสิทธิภาพในอุปกรณ์เหล่านี้มีความสำคัญมากเนื่องจาก ข้อมูลที่ได้จะถูกใช้ไปในการประเมินประสิทธิภาพและการผลิตไฟฟ้าจากระบบผลิตไฟฟ้าจากเซลล์แสงอาทิตย์แบบต่อเข้าระบบจำหน่าย อีกทั้งยังเป็นข้อมูลให้กับผู้ผลิตนำไปใช้ในการพัฒนาผลิตภัณฑ์ที่มีคุณภาพดียิ่งขึ้น ซึ่งการศึกษาการลดลงของประสิทธิภาพแผงเซลล์แสงอาทิตย์ในระยะเวลาหนึ่นมีผู้ศึกษามาแล้วเป็นจำนวนมากในหลาย ๆ กรณี ทั้งการศึกษาภายในห้องทดลอง³⁻¹⁰ และการศึกษาเครื่องแปลงกระแสไฟฟ้าที่มีติดตั้งและใช้งานในโรงไฟฟ้าพลังงานแสงอาทิตย์¹¹⁻¹⁶ ซึ่งส่วนใหญ่เป็นการศึกษาเพื่อมุ่งเน้นประสิทธิภาพในช่วงเริ่มต้นของการใช้งานเครื่องแปลงกระแสไฟฟ้า แต่ในกรณีของการศึกษาการลดลงของประสิทธิภาพและคุณภาพไฟฟ้าในระยะเวลาของเครื่องแปลงกระแสไฟฟ้าแบบต่อเข้าระบบจำหน่ายยังไม่ได้มีการศึกษาอย่างจริงจัง โดยการลดลงของประสิทธิภาพของเครื่องแปลงกระแสไฟฟ้าแบบต่อเข้าระบบจำหน่ายนั้นส่วนใหญ่เกิดจากการเสื่อมสภาพของอุปกรณ์ภายในเครื่องแปลงกระแสไฟฟ้าหลังจากการใช้งานนานา โดยการเสื่อมของอุปกรณ์ในแต่ละส่วนจะส่งผลต่อประสิทธิภาพและคุณภาพไฟฟ้าในลักษณะที่แตกต่างกันไป ดังนั้นจึงจำเป็นต้องมีการ

ศึกษาผลของการลดลงของประสิทธิภาพในระยะยาวของเครื่องแปลงกระแสไฟฟ้าแบบต่อเข้าระบบจำหน่าย เพื่อจะทราบถึงอัตราการลดลงของประสิทธิภาพและปัญหาคุณภาพไฟฟ้าที่จะเกิดขึ้นในอนาคตหากใช้งานเครื่องแปลงกระแสไฟฟ้าในระยะยาว การศึกษาผลของการลดลงของประสิทธิภาพในระยะยาวของเครื่องแปลงกระแสไฟฟ้าแบบต่อเข้าระบบจำหน่าย นั้นเป็นเรื่องที่สำคัญมากเนื่องจากการเสื่อมสภาพของเครื่องแปลงกระแสไฟฟ้าแบบต่อเข้าระบบจำหน่ายจะส่งผลกระทบโดยตรงต่อการผลิตไฟฟ้า ทำให้ผลิตไฟฟ้าได้น้อยลง อีกทั้งยังทำให้เกิดปัญหาคุณภาพไฟฟ้าจนไม่สามารถต่อเชื่อมเข้ากับระบบจำหน่ายได้ งานวิจัยนี้มุ่งเน้นการศึกษาผลของการลดลงของประสิทธิภาพในระยะยาวของเครื่องแปลงกระแสไฟฟ้าแบบต่อเข้าระบบจำหน่าย เพื่อให้ทราบถึงลักษณะการการลดลงของประสิทธิภาพ และคุณภาพไฟฟ้าในระยะยาวของเครื่องแปลงกระแสไฟฟ้าแบบต่อเข้าระบบจำหน่าย ซึ่งจะส่งผลต่อการสูญเสียพลังงานไฟฟ้าอย่างไร ก่อให้เกิดปัญหาคุณภาพไฟฟ้าอย่างไร และผลกระทบที่เกิดขึ้นจะส่งผลต่อระบบในระยะยาวอย่างไรบ้าง รวมถึงศึกษาวิธีการแก้ไขปัญหาที่จะเกิดขึ้นในอนาคต

เครื่องแปลงกระแสไฟฟ้าแบบเชื่อมต่อเข้าระบบจำหน่าย

เครื่องแปลงกระแสไฟฟ้าแบบเชื่อมต่อเข้าระบบจำหน่ายที่ใช้งานร่วมกับระบบผลิตไฟฟ้าด้วยพลังงานแสงอาทิตย์ มีการนำมาใช้ในการผลิตไฟฟ้าในเชิงพาณิชย์ และติดตั้งในบริเวณที่มีระบบจำหน่ายเข้าถึง มีหน้าที่แปลงไฟฟ้ากระแสตรง (DC) จากแผงเซลล์แสงอาทิตย์ให้เป็นไฟฟ้ากระแสสลับ (AC) ที่ได้มาตรฐานเพื่อสามารถต่อเชื่อมเข้ากับระบบจำหน่ายได้ โดยมีหลักการทำงานคือ พลังงานไฟฟ้ากระแสตรงที่ได้จากแผงเซลล์แสงอาทิตย์จะถูกนำเข้าเครื่องแปลงกระแสไฟฟ้าเพื่อแปลงเป็นพลังงานไฟฟ้ากระแสสลับ โดยเครื่องแปลงกระแสไฟฟ้าจะติดตามสัญญาณไฟฟ้าในระบบจำหน่ายตลอดเวลา เพื่อสร้างสัญญาณไฟฟ้าที่มีลักษณะเหมือนกับสัญญาณไฟฟ้าในระบบจำหน่ายและผลักดันกระแสไฟฟ้าให้หลอกลับเข้าระบบจำหน่าย ซึ่งเป็นการจำหน่ายไฟฟ้าคืนหรือซ้ายลดค่าไฟฟ้าในระบบรวมในกรณีที่การใช้ไฟฟ้าในระบบมีมากกว่า ดังนั้นเครื่องแปลงกระแสไฟฟ้านิดนึงจึงมีความซับซ้อนเป็นอย่างมาก และมีการควบคุมสัญญาณไฟฟ้าให้เป็นรูปคลื่นไซน์บิสูท์ (Pure sine wave) ซึ่งเครื่องแปลงกระแสไฟฟ้าแบบเชื่อมต่อเข้าระบบจำหน่ายมีส่วนประกอบดัง Figure 1

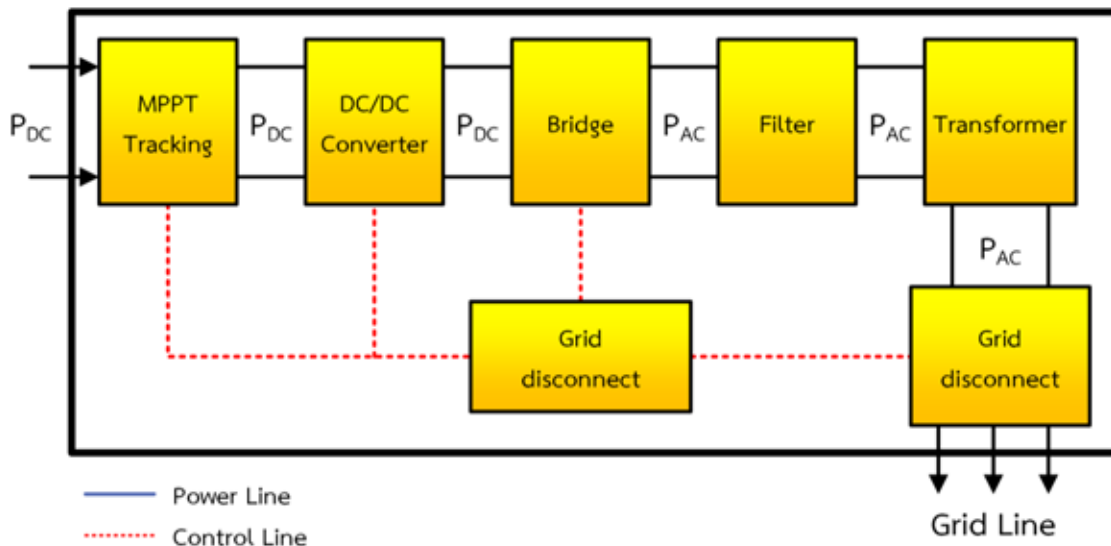


Figure 1 Block diagram of grid-connected inverter

เครื่องแปลงกระแสไฟฟ้าแบบต่อเข้าระบบจำหน่าย มีส่วนประกอบที่สำคัญอยู่ 7 ส่วน ประกอบด้วย ระบบตามหา กำลังไฟฟ้าสูงสุด (Maximum Power Point Tracking, MPPT) ทำหน้าที่หาจุดกำลังไฟฟ้าสูงสุดของแผงเซลล์แสงอาทิตย์ โดยใช้การวัดค่ากระแสไฟฟ้าและแรงดันไฟฟ้าของแผงเซลล์แต่ละจุดทำงานและเลือกจุดทำงานที่ดีที่สุด อุปกรณ์เปลี่ยนไฟฟ้ากระแสตรง(DC/DC Converter) ทำหน้าที่ปรับแรงดันไฟฟ้ากระแสตรงที่ได้จากการตามหา กำลังไฟฟ้าสูงสุดให้ไปอยู่ในระดับแรงดันไฟฟ้าที่เหมาะสม วงจรบริจจ์ (Bridge) ทำหน้าที่แปลงไฟฟ้ากระแสตรงให้เป็นไฟฟ้ากระแสสลับ ตัวกรองไฟฟ้า (Filter) ทำหน้าที่กรองไฟฟ้ากระแสสลับจากการจราบริจจ์ให้เป็นรูปสัญญาณไฟฟ้าให้เป็นรูปคลื่นไซน์เรซิสท์ หม้อแปลงไฟฟ้า (Transformer) ทำหน้าที่ถ่ายเทพลังงานไฟฟ้าจากวงจรไฟฟ้าหนึ่งไปยังอีกวงจรหนึ่ง โดยที่ความถี่ไม่เปลี่ยนแปลงเพื่อเปลี่ยนแปลงแรงดันและกระแสไฟฟ้า ซึ่งหม้อแปลงไฟฟ้าจะใช้ได้กับไฟฟ้ากระแสสลับเท่านั้น อุปกรณ์ตัดต่อไฟฟ้า (Grid disconnected) ทำหน้าที่เชื่อมเครื่องแปลงกระแสไฟฟ้าเข้ากับสายส่ง อุปกรณ์ควบคุม (Controller) ทำหน้าที่ควบคุมการทำงานของ MPPT DC/DC Converter Bridge และ Grid disconnect ให้ทำงานได้อย่างถูกต้องและแม่นยำตามคุณสมบัติที่ต้องการ แต่ในเครื่องแปลงกระแสไฟฟ้าแบบต่อเข้าระบบจำหน่ายบางรุ่นอาจไม่มีอุปกรณ์เปลี่ยนไฟฟ้ากระแสตรง (DC/DC Converter) และหม้อแปลงไฟฟ้า(Transformer) โดยการวิเคราะห์ประสิทธิภาพของเครื่องแปลงกระแสไฟฟ้า (Inverter Efficiency : η_{INV}) สามารถหาได้จากการสมการ

$$\eta_{INV} = P_{INV}/P_{PV} \quad (1)$$

เมื่อ

$$P_{PV} = \text{กำลังไฟฟ้าของแผงเซลล์แสงอาทิตย์ (kW)}$$

$$P_{INV} = \text{กำลังไฟฟ้าของเครื่องแปลงกระแสไฟฟ้า (kW)}$$

ซึ่ง กำลังไฟฟ้าของแผงเซลล์แสงอาทิตย์ (P_{PV}) สามารถหาได้จากการสมการ

$$P_{PV} = I_{DC} \times V_{DC} \quad (2)$$

เมื่อ

$$I_{DC} = \text{กระแสไฟฟ้ากระแสตรงจากแผงเซลล์แสงอาทิตย์ (A)}$$

$$V_{DC} = \text{แรงดันไฟฟ้ากระแสตรงจากแผงเซลล์แสงอาทิตย์ (V)}$$

และกำลังไฟฟ้าของเครื่องแปลงกระแสไฟฟ้า (P_{INV}) สามารถหาได้จากการสมการ

$$P_{INV} = I_{AC} \times V_{AC} \times \cos\theta \quad (3)$$

เมื่อ

$$I_{AC} = \text{กระแสไฟฟ้ากระแสสลับจากเครื่องแปลงกระแสไฟฟ้า (A)}$$

$$V_{AC} = \text{แรงดันไฟฟ้ากระแสสลับจากเครื่องแปลงกระแสไฟฟ้า (V)}$$

$$\cos\theta = \text{มุนระบ่วงกระแสไฟฟ้าและแรงดันไฟฟ้ากระแสสลับ}$$

วิธีการทดลอง

การศึกษาการลดลงของประสิทธิภาพและคุณภาพไฟฟ้าในระยะเวลาของเครื่องแปลงกระแสไฟฟ้าแบบเชื่อมต่อเข้าระบบจำนวนน้อย โดยใช้เครื่องแปลงกระแสไฟฟ้าแบบเชื่อมต่อเข้าระบบจำนวนน้อยขนาด 3.5 kW ซึ่งติดตั้งภายในวิทยาลัย

พลังงานทดแทน มหาวิทยาลัยนเรศวร ที่มีการใช้งานมาแล้วไม่น้อยกว่า 10 ปี ตามมาตรฐาน IEC 61683:1999 (Photovoltaic system - Power conditioners - Procedure for measuring efficiency)¹⁷ โดยขั้นตอนการทดสอบแสดงดัง Figure 2

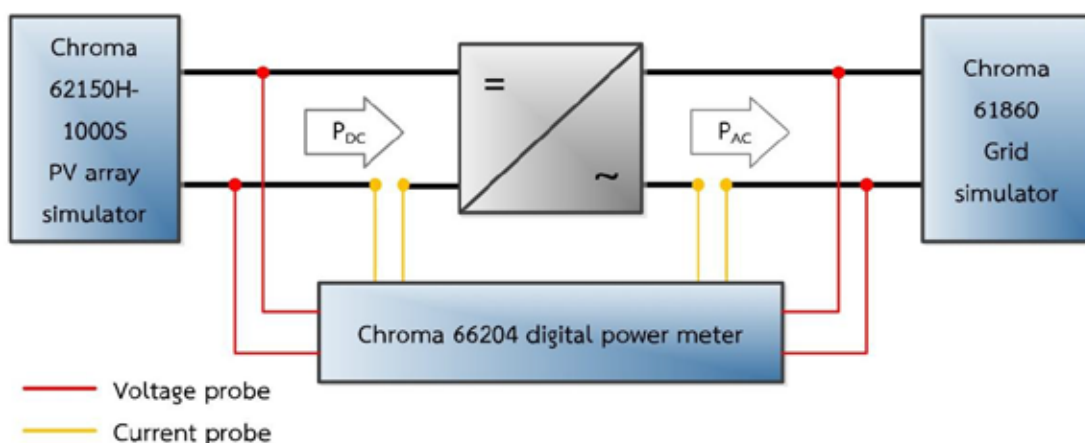


Figure 2 The testing scheme of the experimental test setup for the grid-connected PV inverters (IEC 61683)

การทดสอบใช้ห้องทดสอบ ณ วิทยาลัยพลังงานทดแทน มหาวิทยาลัยนเรศวร สำหรับเครื่องแปลงกระแสไฟฟ้าใช้เครื่องแปลงกระแสไฟฟ้าแบบเชื่อมต่อเข้าระบบจำนวนน้อยที่ติดตั้งและใช้งานกับระบบผลิตไฟฟ้าด้วยเซลล์แสงอาทิตย์ขนาด 10 kW

อาทิตย์ขนาด 10 kW จำนวน 2 เครื่อง โดยเป็นเครื่องแปลงกระแสไฟฟ้าที่ติดตั้งและใช้งานมาเป็นเวลา 9 และ 10 ปี ณ วิทยาลัยพลังงานทดแทน มหาวิทยาลัยนเรศวร ซึ่งระบบผลิตไฟฟ้าด้วยเซลล์แสงอาทิตย์ขนาด 10 kW และแสดงใน Figure 3



Figure 3 10 KW PV system at the energy park, School of Renewable Energy Technology (SERT), Naresuan University, Phitsanulok, Thailand.

วิธีการทดสอบจำนำเครื่องแปลงกระแสไฟฟ้าที่ใช้ในการทดสอบต่อเข้ากับเครื่องจำลองระบบผลิตไฟฟ้าด้วยแผงเซลล์แสงอาทิตย์ (PV array simulator) ยี่ห้อ Chroma 62150H-1000S ขนาด 15 kW เพื่อจำลองระบบผลิตไฟฟ้าด้วยพลังงานแสงอาทิตย์ในฝั่งขาเข้า และในฝั่งขาออกจะต่อเข้ากับเครื่องจำลองระบบจำหน่าย (grid simulator) ยี่ห้อ Chroma 61860 ขนาด 60 kW เพื่อจำลองระบบจำหน่ายซึ่งค่ากำลังไฟฟ้าขาเข้าและขาออก (P_i/P_{ip} และ P_o/P_{op}) ทำการตรวจสอบและบันทึกค่าโดย Chroma 66204 digital power meter มีค่าความคลาดเคลื่อน $\pm 0.1\%$ โดยเครื่องมือและอุปกรณ์แสดงใน Figure 4 ซึ่งการทดสอบจะทำการทดสอบ 3 ระดับ โดยการปรับแรงดันไฟฟ้าที่ป้อนเข้า โดยกำหนดค่าแรงดันไฟฟ้าเท่ากับ 173, 230 และ 284 VDC โดยการทดสอบต่ำสุดจะกำหนดค่ากำลังไฟฟ้าที่ 1 และ 5% ของค่า

กำลังไฟฟ้าผู้ขายออกของเครื่องแปลงกระแสไฟฟ้า หลังจากนั้นทำการปรับค่ากำลังไฟฟ้าเพิ่มขึ้นครั้งละ 5% ของค่ากำลังไฟฟ้าผู้ขายออกจนกระทั่งครบ 100% ของค่ากำลังไฟฟ้าผู้ขายออกของเครื่องแปลงกระแสไฟฟ้าที่ทำการทดสอบ สำหรับการทดสอบในแต่ละครั้งจะทำการบันทึกค่าแรงดันไฟฟ้าขาเข้า แรงดันไฟฟ้าขาออก ค่ากระแสไฟฟ้า และกำลังไฟฟ้า โดยทำการบันทึกค่าทุก 10 วินาที เป็นเวลา 5 นาที และเมื่อทำการเปลี่ยนระดับค่ากำลังไฟฟ้าในการทดสอบแต่ละครั้งจะให้เครื่องแปลงกระแสไฟฟ้าทำงานเป็นเวลาไม่น้อยกว่า 5 นาที เพื่อให้เครื่องแปลงกระแสไฟฟ้าทำงานในสภาวะคงที่ก่อนทำการบันทึกค่า ซึ่งค่าที่ทำการตรวจสอบและบันทึกจะถูกนำมาวิเคราะห์ประสิทธิภาพของเครื่องแปลงกระแสไฟฟ้าแบบเชื่อมต่อเข้าระบบจำหน่ายในระยะยาว



Figure 4 PV array simulator, grid simulator and digital power meter

วิเคราะห์ผลการทดลอง

จากการทดลองพบว่าเมื่อทำการวิเคราะห์หาประสิทธิภาพของเครื่องแปลงกระแสไฟฟ้าแบบเชื่อมต่อเข้ากับระบบจำหน่ายที่ผ่านการใช้งานมาแล้วที่ระดับแรงดันไฟฟ้าที่ป้อนเข้าเท่ากับ 173, 230 และ 284 VDC พบว่าที่แรงดันไฟฟ้าขาเข้าต่ำเครื่องแปลงกระแสไฟฟ้าจะมีประสิทธิภาพสูงที่กำลังไฟฟ้าขาออกเท่ากับ 0 – 40% และที่แรงดันไฟฟ้าขาเข้าสูงเครื่องแปลงกระแสไฟฟ้าจะมีประสิทธิภาพสูงที่กำลัง

ไฟฟ้าขาออกเท่ากับ 40 – 100% แสดงใน Figure 5 โดยที่ระดับแรงดันขาเข้าเท่ากับ 173 VDC เครื่องแปลงกระแสไฟฟ้า มีประสิทธิภาพสูงสุดเท่ากับ 88.98 และ 89.94% สำหรับเครื่องแปลงกระแสไฟฟ้าที่ใช้งานมา 9 และ 10 ปี ตามลำดับ ที่กำลังไฟฟ้าขาออกเท่ากับ 25% ที่ระดับแรงดันขาเข้า 230 VDC ประสิทธิภาพของเครื่องแปลงกระแสไฟฟ้าสูงสุดเท่ากับ 88.03 และ 88.97% สำหรับเครื่องแปลงกระแสไฟฟ้าที่ใช้งานมา 9 และ 10 ปี ตามลำดับ ที่กำลังไฟฟ้าขาออกเท่ากับ 35 และ

25% และที่ระดับแรงดันขาเข้า 284 VDC เครื่องแปลงกระแสไฟฟ้ามีประสิทธิภาพสูงที่สุดเท่ากับ 87.89 และ 88.06% สำหรับเครื่องแปลงกระแสไฟฟ้าที่ใช้งานมา 9 และ 10 ปี ตาม

ลำดับ ที่กำลังไฟฟ้าข้าอกอกเท่ากับ 50% แสดงใน Figure 5 ซึ่งจากข้อมูลพบว่าเครื่องแปลงกระแสไฟฟ้าจะมีประสิทธิภาพสูงสุดที่การแปลงกระแสไฟฟ้าขาเข้าประมาณ 6 ADC

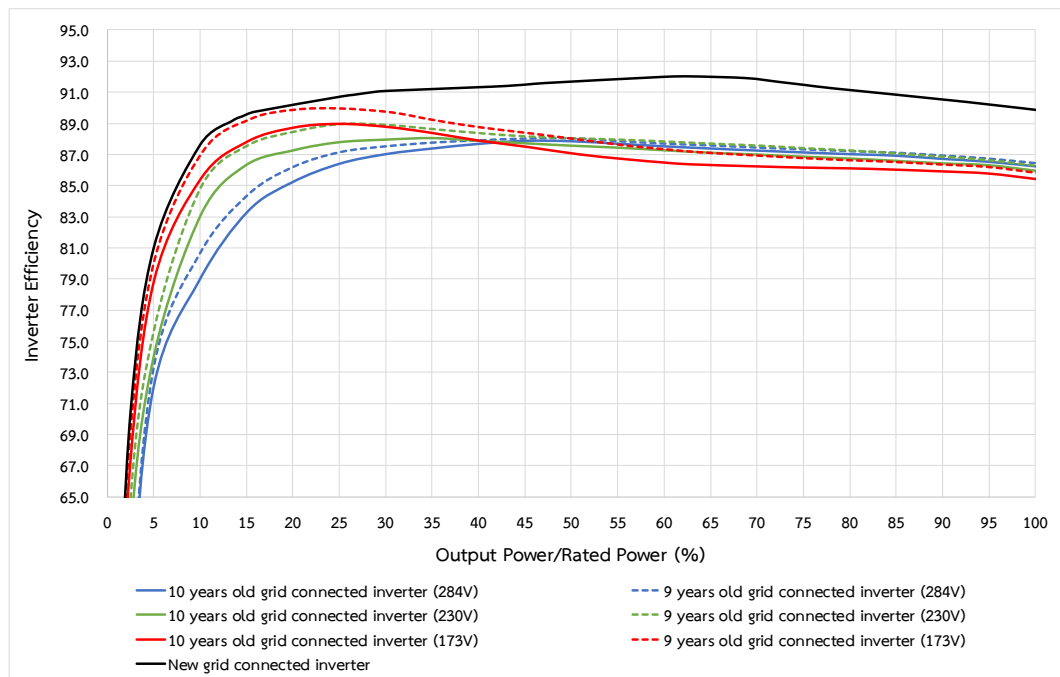


Figure 5 The efficiency of the 9 years old and 10 years old grid connected inverter with testing voltage at 173, 230 and 281 VDC

จากข้อมูลพบว่าเครื่องแปลงกระแสไฟฟ้าที่ค่าแรงดันไฟฟ้าที่ป้อนเข้าต่ำ ส่งผลให้ประสิทธิภาพของเครื่องแปลงกระแสไฟฟ้าสูงที่กำลังไฟฟ้าข้าอกอกต่ำและประสิทธิภาพของเครื่องแปลงกระแสไฟฟ้าก็จะตกลงหลังจากที่ประสิทธิภาพขึ้นไปสูงสุด และผลจากการวิเคราะห์ข้อมูลที่ได้จากการทดสอบสามารถสรุปได้ว่ากระแสไฟฟ้าที่ป้อนเข้าให้กับเครื่องแปลงกระแสไฟฟ้า ส่งผลโดยตรงต่อประสิทธิภาพเครื่องแปลงกระแสไฟฟ้า เมื่อค่ากระแสไฟฟ้าที่ป้อนเข้ามีค่ามากกว่า 6 ADC แต่เนื่องจากประสิทธิภาพของเครื่องแปลงกระแสไฟฟ้าที่มาจากบริษัทผู้ผลิตเป็นการใช้ค่าเฉลี่ยแรงดันไฟฟ้าขาเข้า ดังนั้นงานวิจัยนี้จึงทำการเปรียบเทียบประสิทธิภาพของเครื่องแปลงกระแสไฟฟ้าที่มีการใช้งานมาแล้วเทียบกับเครื่องใหม่ที่ยังไม่ได้ใช้งาน เพื่อประเมินการลดลงของประสิทธิภาพของเครื่องแปลงกระแสไฟฟ้าดังแสดงใน Figure 6 เป็นการเปรียบเทียบประสิทธิภาพเครื่องแปลงกระแสไฟฟ้าเฉลี่ยจากค่าแรงดันไฟฟ้าขาเข้า ซึ่งจากรูปพบว่าประสิทธิภาพเครื่องแปลงกระแสไฟฟ้าที่ใช้งานจะมีประสิทธิภาพลดลงอย่างมีนัยสำคัญ โดยเครื่องแปลงกระแสไฟฟ้าที่มีการใช้งานนานกว่า 9 และ 10 ปี จะมีประสิทธิภาพต่ำกว่าเครื่องใหม่ที่ยังไม่ผ่านการใช้งาน โดย

มีประสิทธิภาพสูงสุดเท่ากับ 87.95 และ 88.71% ที่กำลังไฟฟ้าข้าอกอกเท่ากับ 35 และ 30% ในขณะที่เครื่องแปลงกระแสไฟฟ้าใหม่มีประสิทธิภาพสูงสุดเท่ากับ 91.99% ที่กำลังไฟฟ้าข้าอกอกเท่ากับ 62.82% นอกจากนี้เครื่องแปลงกระแสไฟฟ้าใหม่มีประสิทธิภาพสูงสุดที่การแปลงกระแสไฟฟ้าขาเข้าเท่ากับ 10.4 ADC และเมื่อทำการวิเคราะห์การสูญเสียในเครื่องแปลงกระแสไฟฟ้าแบบเชื่อมต่อเข้ากับระบบจำหน่าย สามารถแบ่งออกเป็น 2 กลุ่ม กลุ่มแรกคือการสูญเสียที่เกิดขึ้นในอุปกรณ์ควบคุมและระบบแสดงผลต่างๆ เช่น จอแสดงผล LCD และไฟสัญญาณ LED เป็นต้น กลุ่มที่สองเป็นการสูญเสียที่เกิดจากความต้านทานในระบบตามที่กำลังไฟฟ้าสูงสุด อุปกรณ์ตัดต่อไฟฟ้าและตัวรองไฟฟ้า ซึ่งการสูญเสียที่เกิดขึ้นจะมีความแตกต่างกันจากการแปลงกระแสไฟฟ้าที่ป้อนเข้าและไฟฟ้าข้าอกอก โดยปกติค่าการสูญเสียหลักที่เกิดขึ้นเมื่อเครื่องแปลงกระแสไฟฟ้าเริ่มทำงานจะถูกปรับสูงสุดเป็นการสูญเสียที่เกิดจากความต้านทานภายในระบบภายใต้ภาระที่ต้องการ ด้วยเหตุนี้สามารถสรุปได้ว่าการสูญเสียที่เกิดขึ้นในเครื่องแปลงกระแสไฟฟ้าเกิดจากความต้านทานภายในเป็นหลัก

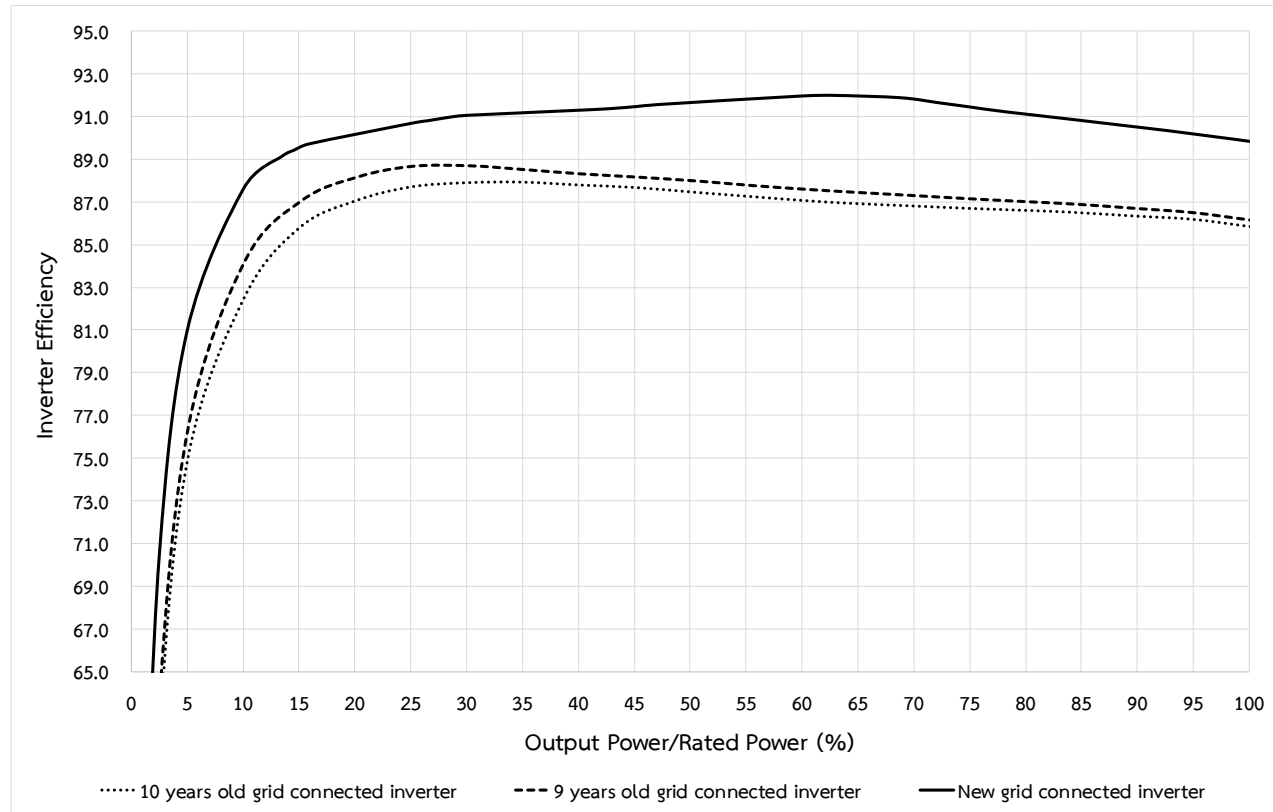


Figure 6 The average input voltage grid connected inverter efficiency curve of the new and 9 years old and 10 years old grid connected inverters

จากการวิจัยพบว่าเครื่องแปลงกระแสไฟฟ้าที่ผ่านการใช้งานแล้วจะเกิดการสูญเสียมากกว่าเครื่องแปลงกระแสไฟฟ้าใหม่ที่ยังไม่ผ่านการใช้งานมาก่อน ซึ่งความแตกต่างของประสิทธิภาพเครื่องแปลงกระแสไฟฟ้าแบบเชื่อมต่อเข้ากับระบบจำหน่ายที่ติดตั้งและใช้งานมาไม่น้อยกว่า 9 และ 10 ปี กับเครื่องแปลงกระแสไฟฟ้าใหม่ที่ยังไม่ผ่านการใช้งานแสดงใน Figure 7 ซึ่งจากรูปจะพบว่าความแตกต่างของประสิทธิภาพเครื่องแปลงกระแสไฟฟ้ามีค่าเปลี่ยนแปลงอยู่ระหว่าง 2.65 ถึง 12.60% สำหรับเครื่องแปลงกระแสไฟฟ้าที่ติดตั้งและใช้งานมาไม่น้อยกว่า 9 ปี และเครื่องแปลงกระแสไฟฟ้าที่ติดตั้งและใช้งานมาไม่น้อยกว่า 10 ปี ประสิทธิภาพเครื่องแปลงกระแสไฟฟ้าเปลี่ยนแปลงอยู่ระหว่าง 1.53 ถึง 11.11% สามารถสรุปได้ว่าความแตกต่างของการสูญเสียของเครื่องแปลงกระแสไฟฟ้าในระหว่างใช้งานระบบมีค่าน้อยมาก ซึ่งความแตกต่าง

ของการสูญเสียเกิดจากสภาพของอุปกรณ์ต่างๆ ของเครื่องแปลงกระแสไฟฟ้า ไม่ว่าจะเป็นอุปกรณ์ควบคุมและระบบแสดงผลของเครื่องแปลงกระแสไฟฟ้าแบบเชื่อมต่อเข้ากับระบบจำหน่ายที่ติดตั้งและผ่านการใช้งานนานกว่า 9 และ 10 ปี ซึ่งส่งผลให้มีการใช้พลังงานไฟฟ้าเพิ่มขึ้นและที่ค่ากำลังไฟฟ้าขาดออก 100% ค่าความแตกต่างของประสิทธิภาพเครื่องแปลงกระแสไฟฟ้าจะมีค่าเปลี่ยนแปลงอยู่ประมาณ 4.00% หรือประมาณ 180.84 W ซึ่งสามารถบอกได้ว่าความแตกต่างของประสิทธิภาพเกิดจากการสูญเสียจากความด้านหน้าภายใน ซึ่งเกิดจากการเสื่อมสภาพของอุปกรณ์ภายในเครื่องแปลงกระแสไฟฟ้าแบบเชื่อมต่อเข้ากับระบบจำหน่ายโดยระบบหากำลังไฟฟ้าสูงสุด, อุปกรณ์ตัดต่อไฟฟ้าและตัวกรองไฟฟ้า, (Insulated - Gate Bipolar Transistor, IGBT), หม้อแปลงไฟฟ้า, choke และตัวเก็บประจุไฟฟ้า เป็นต้น

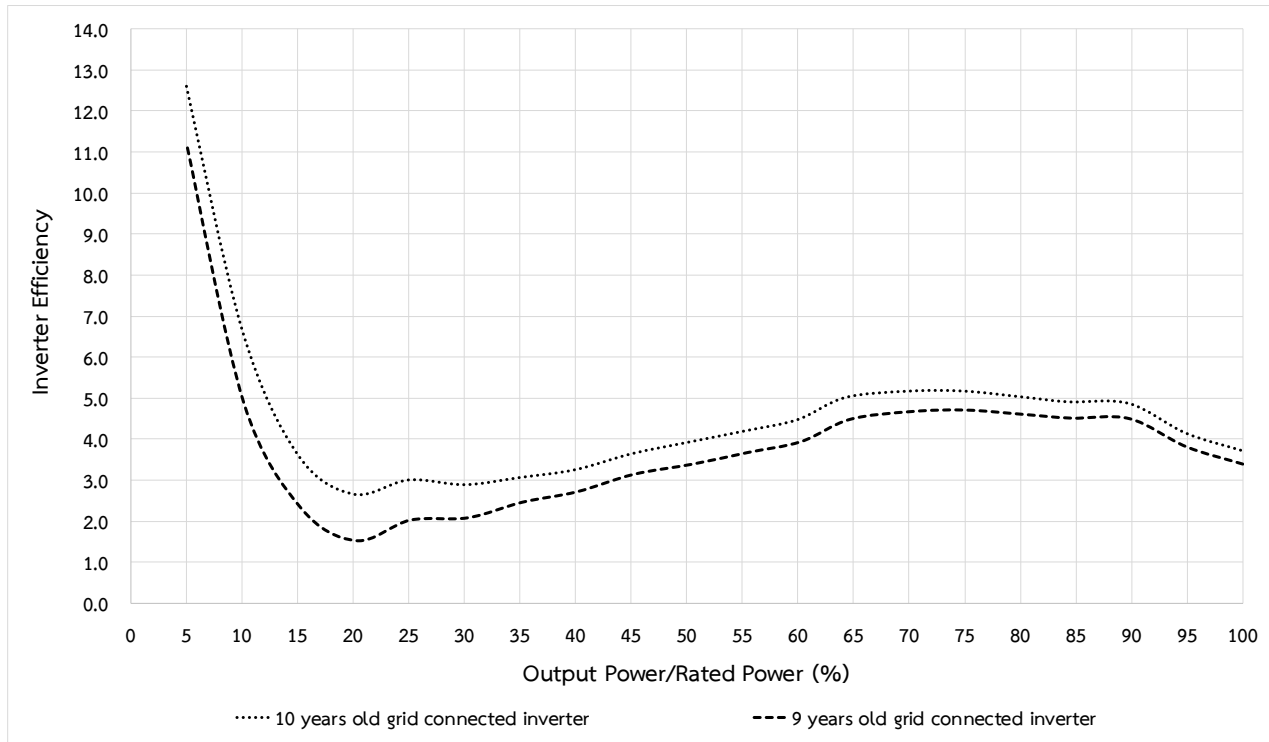


Figure 7 The different efficiency of the new and 9 years old and 10 years old grid connected inverters

เมื่อทำการวิเคราะห์เพื่อหาประสิทธิภาพของเครื่องแปลงกระแสไฟฟ้าแบบเชื่อมต่อเข้าระบบจำหน่ายที่ติดตั้งและใช้งานมาแล้วเป็นเวลา 9 และ 10 ปี และเครื่องแปลงกระแสไฟฟ้าที่ยังไม่ผ่านการใช้งาน โดยใช้มาตรฐานในการคำนวณประสิทธิภาพของเครื่องแปลงกระแสไฟฟ้า 2 ส่วนคือ มาตรฐาน European (Euro) และ มาตรฐาน Californian energy efficiency (CEC) ซึ่งจากผลการวิเคราะห์พบว่า ประสิทธิภาพของเครื่องแปลงกระแสไฟฟ้าตามมาตรฐาน CEC สูงกว่าประสิทธิภาพตามมาตรฐาน Euro ทั้งเครื่องแปลงกระแสไฟฟ้าใหม่ที่ยังไม่ผ่านการใช้งานและที่ติดตั้งและใช้งานมาแล้ว โดยประสิทธิภาพเครื่องแปลงกระแสไฟฟ้าแบบเชื่อมต่อเข้ากับระบบจำหน่ายตามมาตรฐาน Euro สำหรับเครื่องแปลงกระแสไฟฟ้าใหม่และเครื่องแปลงกระแสไฟฟ้าที่ผ่านการใช้งานมาแล้วไม่น้อยกว่า 9 และ 10 ปี มีค่าเท่ากับ 90.47,

87.16 และ 86.47% ตามลำดับ และประสิทธิภาพฝั่ง CEC สำหรับเครื่องแปลงกระแสไฟฟ้าใหม่มีค่าเท่ากับ 91.14% และ เครื่องแปลงกระแสไฟฟ้าที่ผ่านการใช้งานมาแล้วไม่น้อยกว่า 9 และ 10 ปี เท่ากับ 87.41 และ 86.83% ตามลำดับ เมื่อ วิเคราะห์การลดลงของประสิทธิภาพของเครื่องแปลงกระแสไฟฟ้าใหม่และที่ผ่านการใช้งานมาแล้วไม่น้อยกว่า 9 และ 10 ปี เท่ากับ 4.00 และ 3.31% สำหรับมาตรฐาน Euro และสำหรับ มาตรฐาน CEC มีอัตราการลดลงของประสิทธิภาพเครื่องแปลงกระแสไฟฟ้าเท่ากับ 4.31 และ 3.72% และเมื่อวิเคราะห์ การลดลงของประสิทธิภาพเครื่องแปลงกระแสไฟฟ้าต่อปี สำหรับมาตรฐาน Euro และมาตรฐาน CEC เท่ากับ 0.384 และ 0.422% ต่อปี ตามลำดับ ซึ่งรายละเอียดการลดลงของ ประสิทธิภาพเครื่องแปลงกระแสไฟฟ้าแสดงใน Figure 8

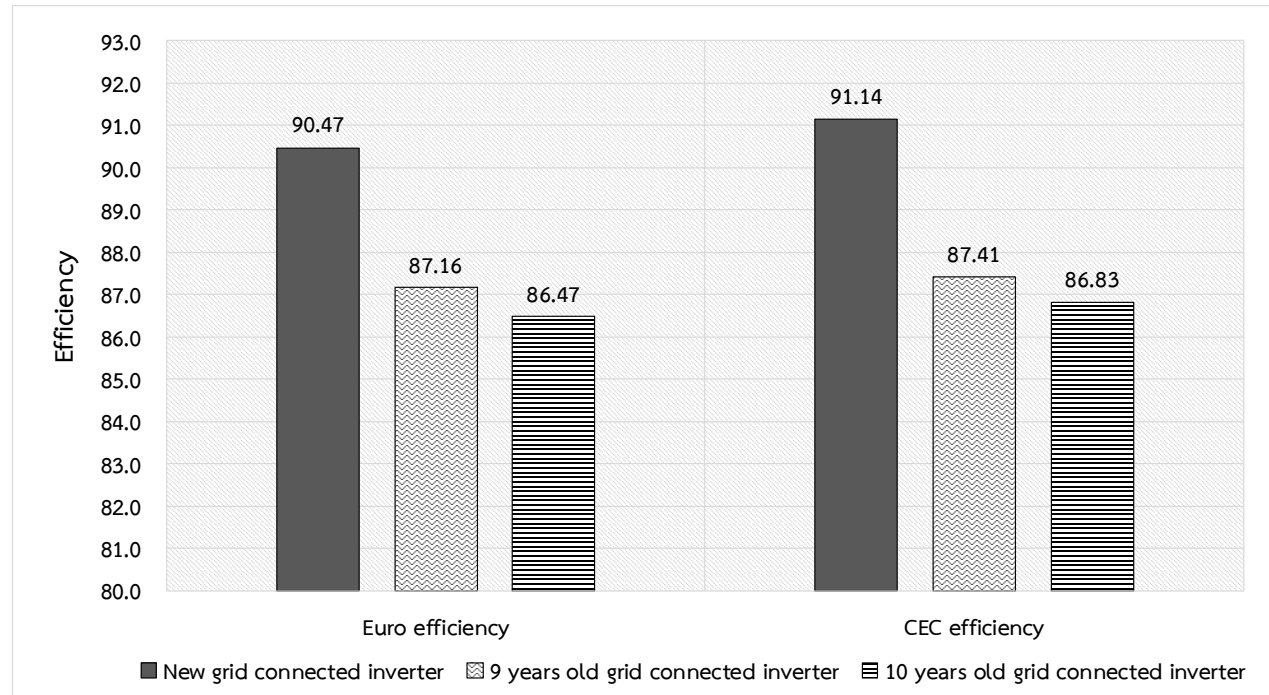


Figure 8 The Euro and CEC efficiency of the new and 9 years old and 10 years old grid connected inverters

เมื่อนำข้อมูลมาทำการวิเคราะห์เพื่อทดสอบการลดลงของประสิทธิภาพเครื่องแปลงกระแสไฟฟ้า พบว่า ประสิทธิภาพเครื่องแปลงกระแสไฟฟ้าจะลดลง 0.58% ต่อปี สำหรับประสิทธิภาพตามมาตรฐาน CEC และ 0.69% ต่อปี

สำหรับประสิทธิภาพตามมาตรฐาน Euro แสดงใน Figure 9 ซึ่งการลดลงของประสิทธิภาพตามมาตรฐาน CEC จะมีค่าน้อยกว่า Euro

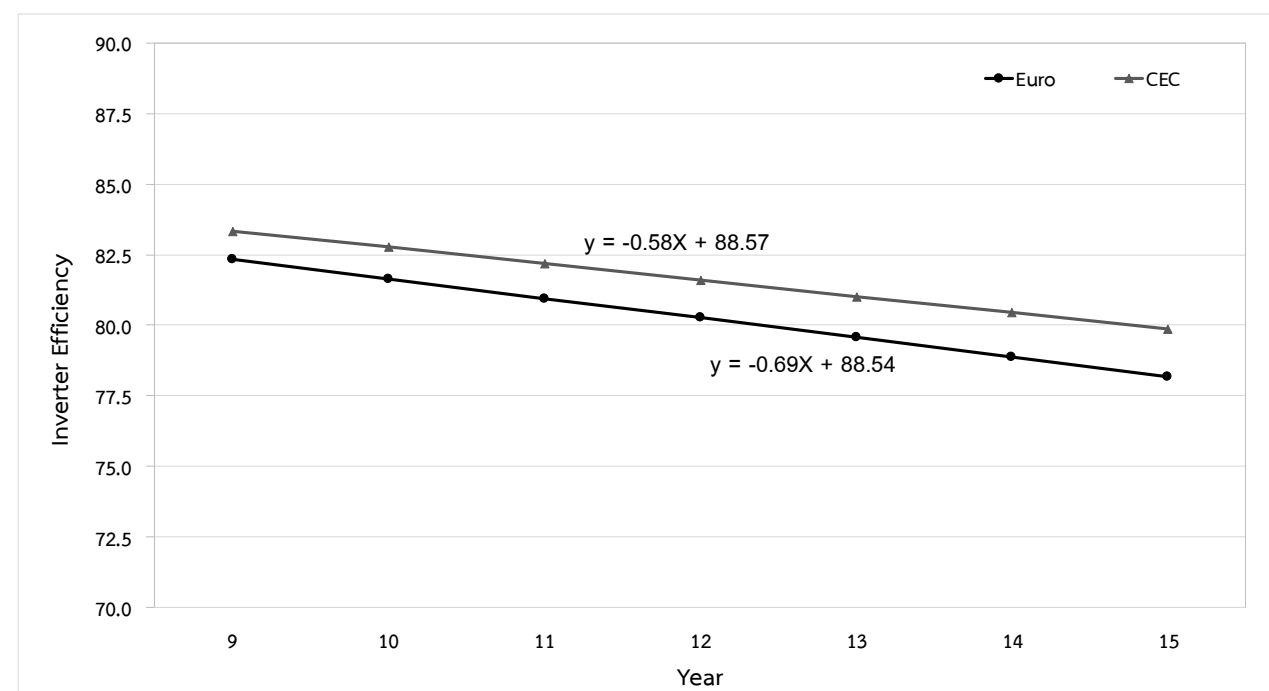


Figure 9 The decline in The Euro and CEC efficiency of grid connected inverters

สรุปผลการทดลอง

จากผลการทดสอบเพื่อประเมินประสิทธิภาพในระยะยาวของเครื่องแปลงกระแสไฟฟ้าแบบเชื่อมต่อเข้าระบบจำหน่ายที่ติดตั้งและใช้งานมาไม่น้อยกว่า 9 และ 10 ปี เปรียบเทียบกับเครื่องแปลงกระแสไฟฟ้าใหม่ที่ยังไม่ผ่านใช้งาน โดยทำการทดสอบที่ระดับแรงดันไฟฟ้าที่ป้อนเข้าเท่ากับ 173, 230 และ 284 VDC จากผลการทดสอบพบว่าที่แรงดันไฟฟ้าข้ามเข้าต่ำเครื่องแปลงกระแสไฟฟ้าจะมีประสิทธิภาพสูงที่กำลังไฟฟ้าข้ามออกเท่ากับ 0 – 40% และที่แรงดันไฟฟ้าข้ามสูงเครื่องแปลงกระแสไฟฟ้าจะมีประสิทธิภาพสูงที่กำลังไฟฟ้าข้ามออกเท่ากับ 40 – 100% โดยที่ระดับแรงดันข้ามเข้าเท่ากับ 173 VDC เครื่องแปลงกระแสไฟฟ้ามีประสิทธิภาพสูงสุดเท่ากับ 89.94 และ 88.98% สำหรับเครื่องแปลงกระแสไฟฟ้าที่ใช้งานมา 9 และ 10 ปี ตามลำดับ ที่กำลังไฟฟ้าข้ามออกเท่ากับ 25% และที่ระดับแรงดันข้ามเข้า 230 VDC ประสิทธิภาพของเครื่องแปลงกระแสไฟฟ้าสูงสุดเท่ากับ 88.97 และ 88.03% สำหรับเครื่องแปลงกระแสไฟฟ้าที่ใช้งานมา 9 และ 10 ปี ตามลำดับ ที่กำลังไฟฟ้าข้ามออกเท่ากับ 25 และ 35% และที่ระดับแรงดันข้ามเข้า 284 VDC เครื่องแปลงกระแสไฟฟ้ามีประสิทธิภาพสูงที่สุดเท่ากับ 88.06 และ 87.89% สำหรับเครื่องแปลงกระแสไฟฟ้าที่ใช้งานมา 9 และ 10 ปี ตามลำดับ ที่กำลังไฟฟ้าข้ามออกเท่ากับ 50% และเมื่อเปรียบเทียบประสิทธิภาพเครื่องแปลงกระแสไฟฟ้าเฉลี่ยจากค่าแรงดันไฟฟ้าข้ามเข้า พบว่าประสิทธิภาพเครื่องแปลงกระแสไฟฟ้าที่ผ่านการใช้งานจะมีประสิทธิภาพลดลงอย่างมีนัยสำคัญ โดยเครื่องแปลงกระแสไฟฟ้าที่มีการใช้งานนานกว่า 9 และ 10 ปี จะมีประสิทธิภาพต่ำกว่าเครื่องใหม่ที่ยังไม่ผ่านการใช้งาน โดยมีประสิทธิภาพสูงสุดเท่ากับ 88.71 และ 87.95% ที่กำลังไฟฟ้าข้ามออกเท่ากับ 30 และ 35% ในขณะที่เครื่องแปลงกระแสไฟฟ้าใหม่มีประสิทธิภาพสูงสุดเท่ากับ 91.99% ที่กำลังไฟฟ้าข้ามออกเท่ากับ 62.82% ซึ่งความแตกต่างของประสิทธิภาพเครื่องแปลงกระแสไฟฟ้ามีค่าเปลี่ยนแปลงอยู่ระหว่าง 1.53 ถึง 11.11% สำหรับเครื่องแปลงกระแสไฟฟ้าที่ติดตั้งและใช้งานมาไม่น้อยกว่า 9 ปี และสำหรับเครื่องแปลงกระแสไฟฟ้าที่ติดตั้งและใช้งานมาไม่น้อยกว่า 10 ปี มีค่าเปลี่ยนแปลงอยู่ระหว่าง 2.65 ถึง 12.60% และจากการวิเคราะห์พบว่าประสิทธิภาพเครื่องแปลงกระแสไฟฟ้าตามมาตรฐาน Euro มีค่าเท่ากับ 90.47, 87.16 และ 86.47% สำหรับเครื่องแปลงกระแสไฟฟ้าใหม่และที่ผ่านการใช้งานมาแล้วไม่น้อยกว่า 9 และ 10 ปี ตามลำดับ และประสิทธิภาพตามมาตรฐาน CEC สำหรับเครื่องแปลงกระแสไฟฟ้าใหม่มีค่าเท่ากับ 91.14% และเครื่องแปลงกระแสไฟฟ้าที่ผ่านการใช้งานมาแล้วไม่น้อยกว่า 9 และ 10 ปี เท่ากับ 87.41 และ 86.83%

ตามลำดับ เมื่อวิเคราะห์การลดลงของประสิทธิภาพเครื่องแปลงกระแสไฟฟ้าต่อปีสำหรับมาตรฐาน Euro และมาตรฐาน CEC เท่ากับ 0.384 และ 0.422% ต่อปี ตามลำดับ ซึ่งการสูญเสียที่เกิดขึ้นเกิดจากการเสื่อมสภาพของอุปกรณ์ภายในเครื่องแปลงกระแสไฟฟ้าเกิดจากการสูญเสียจากความต้านทานภายใน ซึ่งเกิดจากการเสื่อมสภาพของอุปกรณ์ภายในเครื่องแปลงกระแสไฟฟ้าแบบเชื่อมต่อเข้ากับระบบจำหน่ายประกอบด้วยระบบตามหากำลังไฟฟ้าสูงสุด อุปกรณ์ตัดต่อไฟฟ้าและตัวกรองไฟฟ้า, (Insulated - Gate Bipolar Transistor, IGBT), หม้อแปลงไฟฟ้า, choke และตัวเก็บประจุไฟฟ้า

กิตติกรรมประกาศ

งานวิจัยนี้ได้รับทุนอุดหนุนการวิจัยจากมหาวิทยาลัยนเรศวร ประจำปีงบประมาณ 2559 และขอขอบคุณคณาจารย์และเจ้าหน้าที่วิทยาลัยพลังงานทดแทน มหาวิทยาลัยนเรศวร ทุกท่านในการสนับสนุนข้อมูลและคำแนะนำที่เป็นประโยชน์ส่งผลให้งานวิจัยนี้สำเร็จลุล่วงไปได้ด้วยดี

เอกสารอ้างอิง

1. กรมพัฒนาพลังงานทดแทนและอนุรักษ์พลังงาน กระทรวง พลังงาน. โครงการจัดทำแผนที่ศักยภาพพลังงานแสงอาทิตย์ จำกัดชุมชนดาวเทียมสำหรับประเทศไทย
2. สำนักพัฒนาพลังงานแสงอาทิตย์ กรมพัฒนาพลังงานทดแทน และอนุรักษ์พลังงาน: 2557.
3. Weimin W, XiaoLi W, Pan G, Tianhao T. Efficiency analysis for three phase gird-tied PV inverter. 2008 IEEE international conference on industrial technology (IEEE ICIT 2008), 2008 IEEE; 2008. p. 1–5.
4. Massimo V, Alin R, Dezso S, Remus T. PV inverter test setup for European efficiency, static and dynamic MPPT efficiency evaluation. 11th International conference on optimization of electrical and electronic equipment, 2008 (OPTIM 2008), IEEE; 2008. p. 433–438.
5. Notton G, Lazarov V, Stoyanov L. Optimal sizing of a grid-connected PV system for various PV module technologies and inclinations, inverter efficiency characteristics and locations. Renewable Energy 2010;35(2):541–54.
6. Ziya Ö, Ahmet MH. Energy conversion efficiency of single-phase transformerless PV inverters. 8th International conference on Electrical and Electronics

- Engineering, 2013 (ELECO 2013), IEEE; 2013. p. 283–287.
7. Bin G, Jason D, Jih-Sheng L, Chien-Liang C, Thomas L, Baifeng C. High reliability and efficiency single-phase transformerless inverter for grid-connected photovoltaic systems. *IEEE Trans Power Electron* 2013;28(5):2235–45.
8. Rampinelli GA, Krenzinger A, ChenloRomero F. Mathematical models for efficiency of inverters used in grid connected photovoltaic systems. *Renew Sustain Energy Rev* 2014;34:578–87.
9. Xavier C, Guillermo V, Jordi de la H, Helena M. Contribution to the PV-to-inverter sizing ratio determination using a custom flexible experimental setup. *Appl Energy* 2015;149:35–45.
10. David P, Martin KP. Effect of tariffs on the performance and economic benefits of PV-coupled battery systems. *Appl Energy* 2016;164:175–87.
11. Achitpon S, Wattanapong R, Nipon K, Suchart Y. Performance evaluation of a 10 kWp PV power system prototype for isolated building in Thailand. *Renewable Energy* 2010;32(2):1288–00.
12. George M, Bastian Z, George EG, Markus S, Jurgen HW. Outdoor efficiency of different photovoltaic system installed in Cyprus and Germany. 33rd Photovoltaic Specialists Conference, 2008 (PVSC '08), IEEE; 2008. p. 1–6.
13. Mun˜oz J, Marti˜nez-Moreno F, Lorenzo E. On-site characterisation and energy efficiency of grid-connected PV inverters. *Prog. Photovolt: Res. Appl* 2011;19:192–01.
14. Amnaj C, Nipon K, Kobsak S, Sarayooth V. Evaluation of PV generator performance and energy supplied fraction of the 120 kWp PV microgrid system in Thailand. *Energy Proc* 2011;9:117–27
15. Amnaj C, Nipon K. PV Generator performance evaluation and load analysis of the PV microgrid system in Thailand. *Procedia Eng* 2012;32:384–91.
16. Maciej P, Witold M. Report on efficiency of field-installed PV-inverter with focus on radiation variability. Proceedings of the 20th International Conference on Mixed Design of Integrated Circuits and Systems, 2013 (MIXDES 2013), IEEE; 2013. p. 440–43.
17. International Electrotechnical Commission, IEC. IEC 61683:1999 Photovoltaic systems - Power conditioners - Procedure for measuring efficiency, IEC; 1999.